

Б-247

III/II-6

ОБЪЕДИНЕННЫЙ
ИНСТИТУТ
ЯДЕРНЫХ
ИССЛЕДОВАНИЙ

Дубна

P2 - 4178



ЛАБОРАТОРИЯ ТЕОРЕТИЧЕСКОЙ ФИЗИКИ

Д.Ю.Бардин, В.Б.Семикоз, Н.М.Шумейко

РАДИАЦИОННЫЕ ПОПРАВКИ

К πe -РАССЕЯНИЮ

Часть II

1968

P2 - 4178

Д.Ю.Бардин, В.Б.Семикоз, Н.М.Шумейко

РАДИАЦИОННЫЕ ПОПРАВКИ

К πe -РАССЕЯНИЮ

Часть II

4659/2 нр.

ОБЪЕДИНЕННЫЙ ИНСТИТУТ
ЯДЕРНЫХ ИССЛЕДОВАНИЙ
БНБ ЛУНД-УМКА

І. В в е д е н и е

В предыдущей работе /1/ были вычислены радиационные поправки к упругому πe -рассеянию для случая, когда измеряются энергия и угол электрона отдачи. Здесь нами определяются радиационные поправки для случая регистрации энергии и угла мезона отдачи.

Основную часть работы составляет вычисление вклада "жестких" фотонов в радиационные поправки, где сказывается различие в выборе кинематических условий. Это различие проявляется прежде всего в том, что максимальная энергия ненаблюдаемого фотона оказывается значительно большей, чем в случае регистрации электрона. Поэтому становится необходимым учитывать все члены разложения амплитуды тормозного излучения в ряд по энергии фотона ω . Оказывается, однако, что такой учет требуется лишь при вычислении вклада тормозного излучения электроном, что не препятствует введению электромагнитного формфактора π -мезона в амплитуду πe -рассеяния. В тормозном излучении пиона и в интерференции последнего с тормозным излучением электрона вклады, не пропорциональные "упругому" сечению, сокращаются с точностью до членов, пропорциональных ошибке в измерении угла. В результате в этой части радиационных поправок можно ограничиться первым, пропорциональным $\frac{1}{\omega}$, членом разложения амплитуды в ряд по энергии фотона. В этом приближении вклад тормозного излучения пионом и вклад интерференции пропорциональны сечению упругого πe -рассеяния в низшем порядке по константе тонкой структуры α , что позволяет учесть электромагнитный формфактор π -мезона.

Введение формфактора в случае диаграмм с двухфотонным обменом (комптоновский вклад) и диаграмм, связанных с перенормировкой мезон-

ной вершины, невозможно, из-за наличия виртуальных состояний π -мезона.

Вычисление этих вкладов производилось без учета сильных взаимодействий /1/, причем оказалось, что в сумме они не превышают одного процента в сечении. Если учет сильных взаимодействий не увеличит их, то ими можно пренебречь.

В результате сечение упругого πe -рассеяния с точностью до членов порядка α^3 можно представить в виде

$$\frac{d\sigma}{d\Omega_{q'}} = \frac{d\sigma_0}{d\Omega_{q'}} F_\pi^2 \left((p_3^{el})^2 \right) \left(1 + \frac{\alpha}{\pi} \delta_F \right), \quad (1)$$

где $\frac{d\sigma_0^{el}}{d\Omega_{q'}}$ - сечение упругого рассеяния "точечного" пиона электроном в низшем порядке по константе тонкой структуры; $F_\pi \left((p_3^{el})^2 \right)$ - электромагнитный формфактор пиона; $(p_3^{el})^2$ - квадрат 4-импульса, переданного электрону; величина δ_F не содержит комптоновского вклада δ_k и радиационной поправки δ_{el}^π , связанной с перенормировкой мезонной вершины.

Укажем использованные при расчете приближения.

1. Мы пренебрегаем членами порядка $\frac{m}{E}$, $\left(\frac{\mu}{E_{el}'} \right)^2$, $\left(\frac{\mu}{E} \right)^2$ по сравнению с единицей (ультрарелятивистское приближение). Здесь E - энергия пучка π -мезонов, E_{el}' - энергия мезона отдачи, m - масса электрона, μ - масса пиона.

2. Пренебрегается размазанностью первичного пучка по энергии ΔE , так как учет такой погрешности $\left(\frac{\Delta E}{E} = 0,2\% \right)$ приводит к незначительному изменению измеряемой энергии мезона отдачи:

$$\frac{\Delta E_{el}'}{E_{el}'} = \frac{E_{el}'}{E} \frac{\Delta E}{E} < 0,2\%. \quad (2)$$

3. Вклад "жестких" фотонов в радиационную поправку подсчитан с точностью до членов порядка $\frac{\alpha}{\pi}$, что составляет погрешность в сечении менее 0,25%.

В отличие от случая, рассмотренного в работе /1/, использовались еще два дополнительных приближения, смысл которых заключается в следующем.

Если детектируется мезон отдачи, то погрешность в измерении угла $\Delta\theta$ приобретает еще большее значение, поскольку максимальный угол рассеяния, определяемый известным кинематическим соотношением

$$\sin \theta_{\max} = \frac{m}{\mu}, \quad (3)$$

ничтожно мал ($\theta_{\max} \approx 10'$). Ошибка $\frac{\Delta\theta E'}{E'_{el}}$, происходящая из-за неточности в измерении угла $\Delta\theta$, оказывается много больше погрешности

$\frac{\Delta_m E'}{E'_{el}}$ прибора, измеряющего энергию мезона отдачи ($\frac{\Delta_m E'}{E'_{el}} \approx 0,2\%$). Это позволяет положить в общей формуле (35) работы /1/ весовой множитель $g(r)$ равным единице и заменить фигуру

MNKF (см. рис. 2 настоящей работы и рис. 3 работы /1/) фигурой MNCD, т.е. пренебречь ошибкой в измерении энергии $\frac{\Delta_m E'}{E'_{el}}$ по сравнению с величиной $\frac{\Delta\theta E'}{E'_{el}}$.

Характерным свойством рассматриваемой кинематики является двучленность зависимости энергии мезона отдачи от угла рассеяния θ .

Действительно, из закона сохранения энергии нетрудно получить равенство

$$E'_{el} = \frac{(m + E)(mE + \mu^2) \pm |\vec{q}|^2 \cos \theta \sqrt{m^2 - \mu^2 \sin^2 \theta}}{(m + E)^2 - |\vec{q}|^2 \cos^2 \theta}, \quad (4)$$

где $|\vec{q}|^2 = E^2 - \mu^2$, θ - угол рассеяния мезона в л.с.

Таким образом, область допустимых значений энергии мезона распадается на две части:

область I $E'_{el}^{\min} \leq E'_{el} \leq \bar{E}$,

область II $\bar{E} \leq E'_{el} \leq E'_{el}^{\max} = E$,

где

$$E'_{el}{}^{\min} = \frac{\mu^2 E}{\mu^2 + 2mE}, \quad (5)$$

$$\bar{E} = E'_{el}(\theta_{\max}) = \frac{\mu^2 E}{\mu^2 + mE}. \quad (6)$$

Наибольший интерес представляют собой значения энергий из области I, где переданные импульсы будут максимальными. Однако мы не будем подходить к границам области I $E'_{el}{}^{\min}$ и \bar{E} . Причина состоит в том, что в точках, достаточно близких к $E'_{el}{}^{\min}$, ошибки $\frac{\Delta_m E'}{E'_{el}}$ и $\frac{\Delta_\theta E'}{E'_{el}}$ становятся величинами одного порядка; кроме того, в точке $E'_{el}{}^{\min}$ "упругое" сечение $\frac{d\sigma_0}{d\cos\theta_{el}}$, на которое нормируется радиационная поправка δ_{inel} , близко к нулю. В точках вблизи \bar{E} чрезвычайно велика ошибка $\frac{\Delta_\theta E'}{E'_{el}}$.

Мы ограничиваемся теми значениями энергий, для которых $\frac{\Delta_\theta E'}{E'_{el}} < 0,1$.

В разделе II подсчет неупругой части радиационных поправок начинается с разбора кинематики. В разделе III обсуждаются полученные результаты, а также условия, при которых возможен учет электромагнитного фактора π -мезона в сечении, включающем радиационные поправки. Ввиду громоздкости численного материала в прилагаемой таблице приводятся лишь некоторые численные результаты.

II. Неупругая часть радиационных поправок

В этом разделе вычисляется вклад "жестких" фотонов в тормозное излучение. Для "мягких" фотонов вся зависимость от выбора кинематики проявляется в различных значениях энергетического предела $\bar{\omega}$, т.е. аналитический вид выражений, определяющих вклад "мягких" фотонов, точно такой же, как и в работе /2/.

§1. Кинематика и экспериментальные ограничения

Если регистрируются мезоны отдачи, то целесообразно в сечении тормозного излучения провести сначала интегрирование по спектру ненаблюдаемых электронов отдачи с помощью 3-мерной δ -функции. Тогда полное сечение процесса тормозного излучения в л.с. принимает вид

$$\sigma_{\text{inel}} = \frac{a^3}{(2\pi)^2 m |\vec{q}|} \int \frac{d^3 q'}{E'} \int \frac{d^3 k}{2\omega} \delta^{(1)}(\mathcal{E}' - E_2 + \omega) \frac{1}{\mathcal{E}'} A \left| \vec{p} = \vec{q} - \vec{q}' - \vec{k} \right|, \quad (7)$$

где $E_2 = m + E - E'$, $\mathcal{E}' = [m^2 + (\vec{q} - \vec{q}' - \vec{k})^2]^{1/2}$, E' , \vec{q}' - энергия и импульс мезона отдачи, ω , \vec{k} - энергия и импульс фотона, подынтегральная функция A ничем не отличается от соответствующего выражения в работе /2/.

С помощью закона сохранения энергии нетрудно установить, что кинематическая граница энергии ненаблюдаемого фотона есть линия эллипса

$$\omega = \frac{r}{E_2 - \beta \cos \Phi}, \quad (8)$$

где

$$r = \mu^2 + mE - E'(m + E) + |\vec{q}| |\vec{q}'| \cos \theta, \quad (9)$$

$$\beta = |\vec{q} - \vec{q}'|,$$

эксцентриситет

$$\gamma = \beta / E_2 < 1,$$

Φ - угол между импульсом фотона \vec{k} и осью $(\vec{q} - \vec{q}')$.

На рис. 1 изображен эллипс (8) с максимальным, возможным в экспериментально разрешенной области (см. рис.2), значением r , равным

$$r_{\text{max}} = r \Big|_{\substack{E' = E_0 \\ \theta = \theta_0 - \Delta\theta}}. \quad (10)$$

Это значение r соответствует точке K на рис. 2.

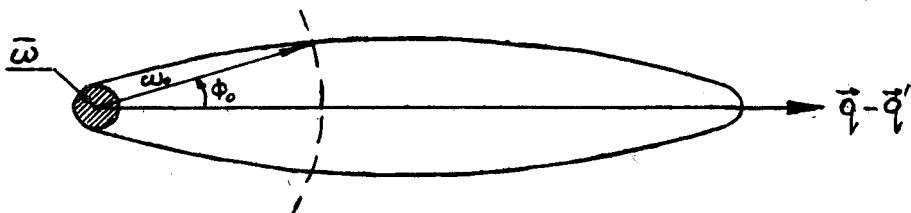


Рис.1.

На рис. 1 выделена область "мягких" фотонов с максимальной энергией $\bar{\omega} \ll m$, где

$$\bar{\omega} = \frac{r_{\max}}{E_2 + \beta} = \frac{r_{\max}}{2\beta}, \quad \beta = E - E' \quad (11)$$

Угол $\Phi_0 = \arccos \frac{\omega_0 E_2 - r_{\max}}{\beta}$ есть наибольший угол вылета фотонов (фотоны с энергией $\omega > \omega_0$), регистрируемых в эксперименте, который обсуждается в §3 данного раздела.

Как уже отмечалось выше, ошибка, происходящая из-за погрешности измерения угла

$$\frac{\Delta_{\theta} E'}{E'_{el}} = \frac{|\vec{q}'_{el}|^2 |\vec{q}| \sin \theta \Delta \theta}{(\mu^2 + m E)(E - E'_{el})} \quad (12)$$

много больше ошибки измерения энергии $\frac{\Delta_{\theta} E'}{E'_{el}}$. Это позволяет заменить фигуру MNKF на рис. 2 фигурой MNCD.

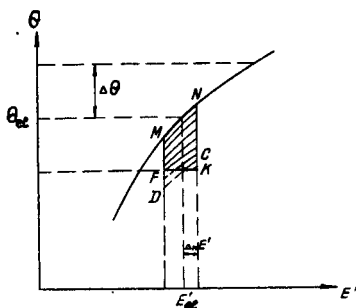


Рис.2.

Нетрудно установить, что линии "упругих" значений энергии $E' = E'_{el}$ (линия MN) соответствует $r = 0$.

Для удобства интегрирования введем замену переменных $E', \theta \rightarrow r, \theta$. Якобиан такой замены равен

$$\Delta(r, \cos \theta) \equiv \frac{\partial E'}{\partial r} = - \frac{1}{(m+E)^2 - |\vec{q}|^2 \cos^2 \theta} \left\{ m+E + \frac{|\vec{q}| \cos \theta (r - \mu^2 - mE)}{[(r - \mu^2 - mE)^2 - \mu^2 ((m+E)^2 - |\vec{q}|^2 \cos^2 \theta)]^{1/2}} \right\} \quad (13) \quad \Gamma$$

Чтобы получить границы области интегрирования в новых переменных $r, \cos \theta$ достаточно в выражение

$$\cos \theta = \frac{r - \mu^2 - mE + E'(m+E)}{|\vec{q}| |\vec{q}'|} \quad (14)$$

подставить значения $E' = E'_{el} \pm \Delta_m E'$. Эта область интегрирования изображена на рис. 3.

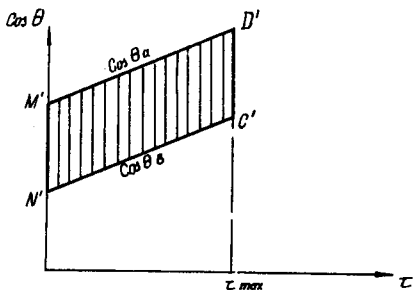


Рис.3

Формула для полного сечения в переменных $r, \cos \theta$ принимает вид

$$\sigma_{inel}(r_{max}, \cos \theta_{el}) = C \int_0^{r_{max}} dr \int_{\cos \theta_b}^{\cos \theta_a} d \cos \theta B(r, \cos \theta) \Delta(r, \cos \theta), \quad (15)$$

где

$$C = \frac{\alpha^3}{2 \pi m |\vec{q}|}, \quad (16)$$

$$B(r, \cos \theta) = \int \frac{d^3 k}{2\omega} \frac{|\vec{q}'|}{\mathcal{E}'} \delta^{(1)}(\mathcal{E}' - E_2 + \omega) A \left| \vec{p}' = \vec{q} - \vec{q}' - \vec{k} \right. \quad (16)$$

причем $E' = E'(r)$

Дифференциальное сечение $\frac{d\sigma}{d \cos \theta_{ol}}$ получаем непосредственным дифференцированием формулы (15) по внешнему параметру $\cos \theta_{ol}$. При этом используем ультрарелятивистское приближение, с учетом которого

$$B(r, \cos \theta_a) \approx B(r, \cos \theta_b) \approx B(r, \cos \theta_{ol}), \quad (17)$$

поскольку

$$\cos \theta_a \approx \cos \theta_b \approx \cos \theta_{ol} \quad (18)$$

При подстановке $\cos \theta = \cos \theta_a [\cos \theta_b]$ в выражение (13) нельзя использовать соотношение (18), так как в знаменателе якобиана главные члены сокращаются. Легко получить в линейном приближении по $\Delta_m E'$, что

$$\cos \theta_{a(b)} = \frac{r \pm h \Delta_m E' - (\mu^2 + mE) + E'_{ol} (m+E)}{|\vec{q}| |\vec{q}'_{ol}|} \quad (19)$$

где

$$h = (\mu^2 + mE)(\bar{E} - E'_{ol}) / |\vec{q}'_{ol}|^2 \quad (20)$$

Если воспользоваться теперь приближением $\Delta_{\theta} E' = \frac{r}{h} \gg \Delta_m E'$, можно считать, что

$$\cos \theta_a \approx \cos \theta_b = \frac{r - \mu^2 - mE + E'_{ol} (m+E)}{|\vec{q}| |\vec{q}'_{ol}|} \quad (21)$$

Подставляя соотношение (21) в формулу (13), находим

$$\Delta(r, \cos \theta_a) \approx \Delta(r, \cos \theta_b) \approx 1 / [h (1 + \frac{r}{h E'_{e\ell}})], \quad (22)$$

откуда в линейном приближении по $\Delta \theta E'$ и с учетом того, что $E' \Big|_{r=0} = E'_{e\ell}$, имеем:

$$E' = E'_{e\ell} + \frac{r}{h}. \quad (23)$$

Для неупругой части радиационной поправки, определяемой как отношение $d\sigma^{inel} / d\cos\theta_{e\ell}$ (по области MNCD) к сечению упругого процесса $\frac{d\sigma^{el}}{d\cos\theta_{e\ell}}$ (по линии MN), получим в итоге

$$\frac{\alpha}{\pi} \delta^{inel} = \frac{\alpha}{\pi} \frac{(p_3^{e\ell})^4}{2T_0^{e\ell}} \int_0^{r_{max}} dr B'(r, \cos\theta_{e\ell}), \quad (24)$$

где

$$(p_3^{e\ell})^2 = 2m\beta_{e\ell}, \quad \beta_{e\ell} = E - E'_{e\ell},$$

$$T_0^{e\ell} = 4m(2mEE'_{e\ell} - \mu^2\beta_{e\ell}),$$

$$B'(r, \cos\theta_{e\ell}) = \int \frac{d^3k}{\omega} \frac{1}{2\pi\epsilon'} \delta^{(1)}(\epsilon' - E_2 + \omega) A \Big|_{\vec{p}' = \vec{q} - \vec{q}' - \vec{k}} \quad (25)$$

§2. "Жесткие" фотоны. Эксперимент 1

Рассмотрим рис. 4, на котором изображена плоскость переменных интегрирования r, ω .

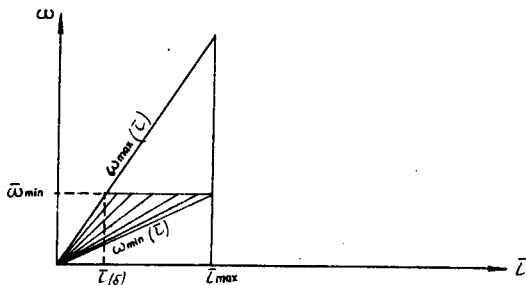


Рис.4.

Здесь уравнения линий $\omega_{\max}(r) = \frac{r}{E_2 - \beta}$ и $\omega_{\min}(r) = \frac{r}{E_2 + \beta}$ получаются из равенства (8) при подстановке $\cos \Phi = \pm 1$ соответственно.

Из рис. 4 ясно, что интеграл (24) можно разбить на два интеграла, один из которых вычисляется по области "мягких" фотонов с энергией $0 \leq \omega \leq \bar{\omega} \ll m$, а другой имеет вид

$$\delta_{1\text{hard}} = \frac{(p_3^{el})^4}{2T_0^{el}} \int_{r(\bar{\omega})}^{r_{\max}} dr \int_{\bar{\omega}}^{\omega_{\max}(r)} \omega d\omega \int_0^{2\pi} d\phi \int_{(\cos\Phi)_{\min}}^{(\cos\Phi)_{\max}} d\cos\Phi \frac{A}{2\pi \bar{\omega}'} \delta^{(1)}(\bar{\omega}' - E_2 + \omega), \quad (28)$$

$|\vec{p}' = \vec{q} - \vec{q}' - \vec{k}$

где

$$r(\delta) = \frac{m^2}{2\beta_{el}} \bar{\omega} \quad (27)$$

Интегрируя с помощью δ -функции по $\cos \Phi$, получим

$$\delta_{1\text{hard}} = \frac{(p_3^{el})^4}{2T_0^{el}} \int_{r(\bar{\omega})}^{r_{\max}} dr \int_{\bar{\omega}}^{\omega_{\max}(r)} d\omega \int_0^{2\pi} d\phi \frac{A}{2\pi\beta} \Big|_{\cos\Phi = a}^{\vec{p}' = \vec{q} - \vec{q}' - \vec{k}}, \quad (28)$$

где

$$a = \frac{m^2 + \omega^2 + \beta^2 - (E_2 - \omega)^2}{2\beta\omega} \quad (29)$$

Вычисление 3-кратных интегралов (28) выполняется непосредственно, хотя и чрезвычайно громоздко. Окончательный результат удобно представить в виде

$$\delta_{1\text{hard}} = \delta_{\text{hard}}^{\circ} + \delta_{\text{hard}}^{\pi} + \delta_{\text{hard}}^{\pi\pi} \quad (30)$$

Здесь

$$\delta_{\text{hard}}^{\circ} = \frac{1}{2} \ln^2 \frac{r_{\max}}{r(\bar{\omega})} - \frac{1}{2} \ln^2 \frac{2r_{\max}}{m^2} - \ln \frac{\beta_{el}}{\bar{\omega}} - \ln \frac{2r_{\max}}{m^2} + \frac{1}{4} \left(\ln \frac{2r_{\max}}{m^2} - 1 \right) - \Phi(1) + \frac{r_{\max}}{h\beta_{el}} \left(1 + \frac{2E}{E'_{el}} + \frac{h}{m} \right) \ln \frac{\beta_{el}}{\bar{\omega}}, \quad (31)$$

$$\delta_{\text{hard}}^{\pi} = \ln \frac{r_{\text{max}}}{r(\delta)} \cdot \left(\frac{1+a'^2}{2a'} \ln \frac{mE(a'+1)+\mu^2}{mE'_{el}(a'-1)+\mu^2} - 1 \right), \quad (32)$$

$$\delta_{\text{hard}}^{\circ\pi} = 4 \ln \frac{E'_{el}}{E} \cdot \ln \frac{r_{\text{max}}}{m\bar{\omega}}, \quad (33)$$

причем

$$a'^2 = 1 + \frac{2\mu^2}{m\beta_{el}}$$

При вычислении $\delta_{\text{hard}}^{\pi}$ мы всюду производили разложение в ряд по величине $\frac{r_{\text{max}}}{hE'_{el}}$. Был подсчитан главный член, а также та часть вклада, пропорционального $\frac{r_{\text{max}}}{hE'_{el}}$, которая содержит логарифмы типа $\ln \frac{4E^2}{\mu^2}$, $\ln \frac{\beta_{el}}{\bar{\omega}}$. Однако во вкладах $\delta_{\text{hard}}^{\pi}$, $\delta_{\text{hard}}^{\circ\pi}$ последние члены оказываются порядка единицы, так что ими можно пренебречь.

Укажем, наконец, что для получения радиационных поправок к $\pi^T e^-$ рассеянию, необходимо сменить знак перед слагаемым $\delta_{\text{hard}}^{\circ\pi}$ и комптоновским вкладом δ_k .

§3. "Жесткие" фотоны. Эксперимент 2 x)

При введении дополнительного экспериментального ограничения на максимальные энергии фотонов интегрирование по ω должно вестись только в пределах $\omega < \omega_0$ (см. рис. 1,4). Здесь ω_0 - энергия, начиная с которой производится регистрация фотонов.

Из рис. 1 и 4 легко видеть, что в этом случае

$$\delta_2^{\text{hard}} = \frac{(p_3 e \ell)^4}{2T_0 e \ell} \left[\int_{r(\delta)}^{r_{\text{max}}} \frac{dr}{r} \int_{\bar{\omega}}^{\omega_{\text{max}}(\eta)} d\omega - \int_{r_0}^{r_{\text{max}}} \frac{dr}{r} \int_{\omega_0}^{\omega_{\text{max}}(\eta)} d\omega \right] \int_0^{2\pi} d\phi \frac{A | \cos \Phi = \alpha }{2\pi\beta}, \quad (34)$$

x) См. ниже раздел 3.

где

$$r_0 = \frac{m^2}{2\beta_e \ell} \omega_0 .$$

Второй интеграл в (34) может быть получен из первого с помощью замены $r(\delta)$, $\bar{\omega}$ на r_0 , ω_0 .

Подробное рассмотрение показывает, что все приближения, используемые при вычислении первого интеграла, будут справедливы при вычислении второго, если

$$\Delta_{\theta} E' \gg \omega_0 . \quad (35)$$

В результате получим

$$\begin{aligned} \delta_{2 \text{ hard}}^{\circ} &= \ln \frac{r_{\max}}{r(\delta)} \ln \frac{\omega_0}{\bar{\omega}} - \frac{1}{2} \ln^2 \frac{\omega_0}{\bar{\omega}} - \ln \frac{\omega_0}{\bar{\omega}} + \\ &+ \frac{r_{\max}}{h \beta_e \ell} \left(\frac{2E + E'_e \ell}{E'_e \ell} + \frac{h}{m} \right) \ln \frac{\omega_0}{\bar{\omega}} , \end{aligned} \quad (36)$$

$$\delta_{2 \text{ hard}}^{\pi} = 2 \ln \frac{\omega_0}{\bar{\omega}} \left(\frac{1 + a'^2}{2a'} \ln \frac{mE(a'+1) + \mu^2}{mE'_e \ell (a'-1) + \mu^2} - 1 \right), \quad (37)$$

$$\delta_{2 \text{ hard}}^{\circ \pi} = 4 \ln \frac{E'_e \ell}{E} \ln \frac{\omega_0}{\bar{\omega}} . \quad (38)$$

III . Заключение

С точностью до членов порядка a^3 сечение упругого рассеяния "точечного" π - мезона электроном можно представить в виде

$$\frac{d\sigma_0}{d\Omega_{q'}} = \frac{d\sigma_0^{\circ \ell}}{d\Omega_{q'}} \left(1 + \frac{\alpha}{\pi} \delta \right), \quad (39)$$

где $\frac{d\sigma_0^{el}}{d\Omega_q}$ - сечение упругого πe - рассеяния в низшем порядке по константе тонкой структуры α , величина δ равна

$$\delta = \delta_{el}^{\pi} + \delta_{el}^e + \delta_k + \delta_{inel}^{\pi} + \delta_{inel}^e + \delta_{inel}^{e\pi} \quad (40)$$

причем $\delta_{inel}^{\pi} = \delta_{soft}^{\pi} + \delta_{hard}^{\pi}$ и т.д.

Слагаемые δ_{el}^{π} , δ_{el}^e , δ_k определяются формулами (П.29), (П.31) работы /2/; для получения δ_{soft}^{π} , δ_{soft}^e , $\delta_{soft}^{e\pi}$ необходимо

подставить новое значение $\bar{\omega}$ в формулы (III. 18 - III. 27) работы /2/.

Величины δ_{hard} определяются соотношениями (31), (32), (33) (для эксперимента 1), либо (36), (37), (38) (для эксперимента 2).

Введение дополнительного экспериментального ограничения, позволяющего не учитывать часть неупругих событий ($\omega_0 \leq \omega \leq \omega_{max}$), воспринимавшихся ранее как упругие, фактически эквивалентно улучшению точности измерения "упругих" параметров (угла и энергии мезона отдачи). Известно (см., например, /3/), что такое уменьшение погрешностей измерения ведет к значительному увеличению радиационных поправок, что, возможно, потребует учета следующего порядка теории возмущений. Это становится очевидным, если представить себе такой идеальный случай, когда достигнута абсолютная точность измерений. В результате останется только упругая часть радиационной поправки, которая будет бесконечно велика из-за наличия инфракрасных расходимостей. Такое явление приводит к тому, что при выбранном нами значении $\omega_0 \approx 100$ Мэв (брались также 50 и 75 Мэв) радиационные поправки к упругому πe - рассеянию достигают 15%, что значительно больше, чем для первого эксперимента.

Исключение наблюдаемых неупругих событий ($\pi e \rightarrow \pi e \gamma$) с энергиями фотона $\omega > \omega_0$ позволяет ограничиться первым, пропорциональным $1/\omega$, членом в разложении всей амплитуды тормозного излучения нерегистрируемых фотонов ($\omega < \omega_0$) в ряд по энергии ω . В этом приближении сечение тормозного излучения пропорционально сечению упругого πe - рассеяния, что допускает факторизацию по формуле (41).

Таким образом, как и в случае регистрации электрона отдачи, в экспериментах 1 и 2 можно определить электромагнитный формфактор π -мезона с учетом радиационных поправок, сравнивая экспериментальное сечение с сечением, вычисленным по формуле

$$\frac{d\sigma}{d\Omega_q'} = \frac{d\sigma_0}{d\Omega_q'} F_\pi^2 \left[\left(p_3^{e\ell} \right)^2 \right] \left(1 + \frac{\alpha}{\pi} \delta_F \right), \quad (41)$$

где $F_\pi \left[\left(p_3^{e\ell} \right)^2 \right]$ - пионный электромагнитный формфактор, а радиационная поправка δ_F равна

$$\delta_F = \delta_{e\ell}^e + \delta_{inel}^e + \delta_{inel}^{e\pi} \left(\frac{1}{\omega} \right) + \delta_{inel}^\pi \left(\frac{1}{\omega} \right). \quad (42)$$

Слагаемые $\delta_{inel}^{e\pi} \left(\frac{1}{\omega} \right)$ и $\delta_{inel}^\pi \left(\frac{1}{\omega} \right)$ происходят от главного, пропорционального $1/\omega$ члена в амплитуде тормозного излучения и определяется с помощью формул (32), (33), (37), (38).

В прилагаемой таблице приводятся некоторые численные значения радиационных поправок δ и δ_F к π^-e^- и π^+e^- -рассеянию для различных значений переданного импульса в случае эксперимента 1.

Энергия первичного пучка менялась в интервале 50+60 Гэв. Вычисления производились для погрешностей углового измерения $\Delta\theta$, равных 0,05; 0,1; 0,15; 0,2 (mrad).

В заключение мы выражаем благодарность С. М. Биленькому и В. Г. Гришину за критические замечания и полезные дискуссии.

Л и т е р а т у р а

1. Д. Ю. Бардин, В. Б. Семикоз, Н. М. Шумейко. Препринт ОИЯИ, P2-4177, Дубна, 1968.
2. J. Kahane. *Phys. Rev.*, 135, 4B, 975 (1964).
3. D. R. Yennie, S. C. Frautschi, and H. Suura. *Ann. Phys.*, 13, 379 (1961).

Рукопись поступила в издательский отдел

29 ноября 1968 года.

Таблица

E=56 ГэВ

E'_{el} (ГэВ)	15	16	17	18	19	20	
$\Delta\theta$ (0,1 mrad)							
π^-_e	0,5	-9,66	-8,69	-8,20	-7,86	-7,55	-7,20
	1,0	-7,81	-6,82	-6,28	-5,86	-5,44	-4,90
	1,5	-6,77	-5,74	-5,16	-4,67	-4,14	-3,42
	2,0	-6,05	-4,99	-4,35	-3,79	-3,16	-2,27
$\frac{\alpha}{\pi} \delta$ (%)							
π^+_e	0,5	-20,51	-17,97	-16,46	-15,33	-14,36	-13,44
	1,0	-17,00	-14,50	-13,03	-11,89	-10,87	-9,82
	1,5	-15,00	-12,51	-11,02	-9,85	-8,77	-7,58
	2,0	-13,61	-11,11	-9,60	-8,39	-7,23	-5,89
π^-_e	0,5	-8,94	-7,94	-7,43	-7,07	-6,74	-6,38
	1,0	-7,09	-6,07	-5,51	-5,07	-4,63	-4,08
	1,5	-6,05	-4,99	-4,38	-3,87	-3,33	-2,59
	2,0	-5,33	-4,24	-3,58	-3,00	-2,35	-1,44
$\frac{\alpha}{\pi} \delta_F$ (%)							
π^+_e	0,5	-21,75	-19,22	-17,73	-16,60	-15,64	-14,72
	1,0	-18,24	-15,76	-14,29	-13,16	-12,15	-11,11
	1,5	-16,24	-13,76	-12,29	-11,13	-10,05	-8,86
	2,0	-14,85	-12,36	-10,86	-9,66	-8,51	-7,18